



MUSÉE NATIONAL

OCTOBRE 1981

Musée National

Ministère de la Culture

LE MUSÉE NATIONAL

MINISTÈRE DE LA CULTURE

TUNISIE

الهيئة الوطنية
لدارة الفنون

المركز العربي
لل燧石 الفلامي
تونس

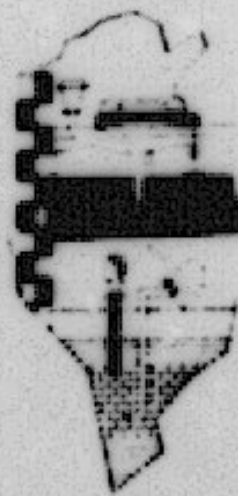
F 1

MINISTÈRE DE L'AGRICULTURE
CENTRE DE DOCUMENTATION AGRICOLE
22 AVRIL 1980

CNRA 02581

DIVISION DES RESSOURCES EN EAU

EVALUATION DES DÉBITS DE CRUES MAXIMALES EN TUNISIE



M. BOUJELD

Novembre 1980

REPUBLIC OF TANZANIA
MINISTRY OF AGRICULTURE

D. R. C. S.

EVALUATION OF SOILS IN COTON

MINISTRY OF TRANSPORT

NOVEMBER 1979

R. KALILO.
• Engineer Principal
Hydrology

ÉVALUATION DES DÉBITS DE CRUE

EN TUNISIE

Introduction

Le service hydrologique est souvent sollicité pour faire un avis sur les estimations des débits maxima de différentes recurrences à craindre sur des cours d'eau et sont projetés des œuvres hydrologiques variées. Il n'est pas toujours aisé de répondre d'une manière satisfaisante à ces demandes, il est alors conseillé aux projeteurs d'adopter telle ou telle formule qui semble le mieux convenir à des cas précis en s'étayant si possible sur les quelques résultats de mesures connus. Toutes ces formules proposées pour résoudre les problèmes, ont le défaut majeur d'avoir été établies pour d'autres climats et d'autres régimes hydrologiques. Peu de formules, sauf celles mises au point pour des climats méditerranéens proches du nôtre sont relativement utilisables. Cependant elles donnent souvent à des résultats plus ou moins erronés...

Un premier essai, pour établir un abaque spécifiquement tunisien, a déjà été fait en 1957. Cet essai avait abouti à l'établissement du "Carte du D.I.R.H." Ce travail mis au point à partir de données très régionales (Nord de la Tunisie et bassin versant de la Medjerda) ne pouvait être extrapolé aux autres régions du Pays sans risques.

En 1977, un travail d'inventaire de tous les débits spécifiques maxima a été entrepris au service de l'hydrologie. Cette étude (1) a fait apparaître une "réalisation" des débits spécifiques maxima en Tunisie. L'étude fréquentielle de ces débits maxima permet aujourd'hui, d'établir des cartes spécifiques à chaque région, représentant la relation entre les débits spécifiques maxima et les superficies des bassins versants.

Le service de l'hydrologie entreprend donc un travail original, dont les bases sont éloignées d'intérêt. Cependant il faut garder à l'esprit que les œuvres tunisiennes et les formules mises à la disposition des utilisateurs doivent être affinées dans quelques années, les séries d'observations sur certains cours d'eau seront plus longues, et les mesures intensives faites dans les régions du Sud donneront à porter leur fruit.

1. - Évaluation des résultats obtenus antérieurement et déjà publiés :

Avant de procéder à l'analyse des résultats à l'échelon des différentes régions naturelles du pays, il est intéressant de passer en revue les différentes valeurs calculées ou estimées pour quelques cours d'eau du pays. Ces résultats démontrent dans la majorité des cas d'une étude statistique.

Nous ne considérons à cet effet que les chiffres qui ont été publiés dans des études hydrologiques, (citées en référence bibliographique). Les tableaux ci-après permettent de préciser l'ordre de grandeur des valeurs obtenues et de constater leur fréquence apparaissante.

1. 1. Tarije du Gard

1.1.1. Quai Félix Marion Taurion ($S = 105 \text{ km}^2$)

T	q (1)	q (2)
5	0,700	0,90
10	0,905	
20	0,922	
50	0,935	
100	1,00	3,00

1.1.2. Quai Jeanne Jauel Latte ($S = 226 \text{ km}^2$)

T	q (1)	q (2)
5	0,750	0,91
10	0,950	1,05
20	1,150	1,20
50	1,400	1,79
100	1,450	2,17

Les chiffres entre parenthèses qui suivent l'indication "q" dans les tableaux ci-dessus renvoient à la référence bibliographique donnée à la fin de cette étude et d'où sont tirées les valeurs correspondantes.

1.1.4. - Das Prinzip der Spur-

1.1.5. - Rapport Central et Centre

T	VENTIL A DÉPANNAGE	VENTIL B DÉPANNAGE	VENTIL C DÉPANNAGE	VENTIL D DÉPANNAGE
	675	615	700	600
1	0,00	0,00	0,00	0,00
3	1,153	0,500	0,494	0,100
10	1,290	1,175	0,655	0,100
20	2,722	1,500	0,925	0,200
50	9,994	4,992	3,391	1,170
100	9,011	4,587	3,700	1,000

1.1.6. - Territoire du Sud

CODE	ENTREPRISE	S m ²	q (%) Centrale	q (%) Exceptionnel
Stal Mich	Construccio n de Tech.	2000	1,03	2,22
Stalif	-	3100	1,60	1,70
Stal Construc	Geofax	5500	1,21	1,60

CODE	ENTREPRISE	S ₂ m ²	q (%) Centrale	q (%) Exceptionnel
Loban	Pont route fer- roviaire Génie	2000	1,74	2,16
Dafosa	- - -	6000	1,12	1,38

Les chiffres entre parenthèses indiquent l'indication "q" des les tableaux ci-dessus renvoient à la référence bibliographique donnée à la fin de cette étude et d'où sont tirées les valeurs correspondantes. -

2. - Analyse des résultats de l'étude statistique

2.1. Regionalisation des résultats

L'analyse sommaire de ces tables permet de dégager une similitude de certaines valeurs entre elles. Cette homogénéité est loin d'être絕對的; elle semble répondre à des critères physiques bien définis : unifiés géographique, climatique et hydrologique. Il a été d'ailleurs démontré dans une étude récente sur les débits spécifiques nombreux annuels (1) que les valeurs observées sur certaines grande cours d'eau du pays ayant des périodes de retour identiques ou proches s'ajustent bien graphiquement.

Il s'est aussi dégagé de la même étude une répartition géographique qui l'on rappelle ci-après.

2.1.1. Répartition géographique

Les grandes zones géographiques tunisiennes qui ont apparu aux traces des cours sont au nombre de quatre :

- La région sud-sudorientale
- La région du Juras Dorsal
- La région Telluel, Sahel, Sfax, Lebon
- La région méditerranéenne

Il est intéressant, que la disponibilité d'un plus grand nombre de données, aurait permis de "régionaliser" de façon plus précise les cours.

On peut considérer le Sud et le Sud-Est comme étant une zone unique.

Cette façon de voir est basée mais le manque d'éléments de base nous oblige préférablement à formuler cette hypothèse.

2.1.1.1. La région sud-sudorientale de la Tunisie

Cette grande zone géographique située au Nord de la Dorsale est caractérisée par :

- les Mouloua, la Goumira et la région de Birjerte.
- le versant de la Ghajerdah
- le versant de Mitidja
- le Cap Bon

Nous n'entrerons pas ici dans les détails climatiques et géomorphologiques de cette entité, déjà traitée plus particulièrement par les Hydrographes de la Medjerdah (4) de Milles (5) et de façon plus succincte pour le Kéfi Ichkeul (2 et 3).

2.1.1.2. La rivière moyen Zépad

Cette rivière couvre les cours de Zébar (Djebel), Djerba - Route Sars - Djerba) soit les cours supérieurs de : la Sidiha (Gouffre), du Milles (Kéfir), de Djebba (Zébar - Djedja et Bel Aouane) et du Kéfi III. Cette zone à reliefs élevés peut être considérée comme un des "étagages d'eau" de la Tunisie sahélienne, entre les oasis artificielles, y prend naissance l'Oued Mabrouk (Branche Nord du Zépad).

2.1.1.3. La région de la Tunisie Centrale

Cette partie englobe, les branches Nord et Sud de Zépad, soit pratiquement la Tunisie Centrale. Nous avons fait une extrapolation de la régionalisation des cours d'eau obtenus pour cette zone au Sud de Sfax, mais pour les grands bassins uniquement.

Par extension le Luban a été aussi inclus dans cette région. Cette hypothèse peut se vérifier fausse dans l'avenir. Il apparaît de façon évidente que du point de vue climatique et morphologique le versant du Luban fait transition entre la Tunisie Centrale et la Tunisie Méridionale. Pourtant les valeurs observées lors des crues de 1989 indiquent une similitude des écoulements non négligeable avec le bassin du Zépad.

2.1.1.4. Région Méridionale de la Tunisie

Pour le Sud de la Tunisie, le manque d'information ne permet pas de préciser la division régionale qui semble logique à faire :

- Le Sud-Est (Gafsa)
- Le Sud-Ouest (Gafsa)

Cette grande région a donc été traitée comme une entité unique. L'avenir posera des régionalisations plus adéquates.

Les personnes favorisant la régionalisation observée n'en ont pas été évidemment tel. Il peut néanmoins et relativement d'ordres pluridisciplinaires (Biologie - Pathologie - Radiologie - Chirurgie etc...).

2.1.2. Analyse des résultats - Modélisation de relations analytiques

2.1.2.1. Application de la formule de Froude-Boulier

Face aux mêmes rapports et dans différentes études réalisées au sein du Service hydrologique utilisé la formule élue de Froude-Boulier (3).

Les limitations de cette formule, après étude de plusieurs résultats dans le monde entier, que pour un bassin donné (pas trop hétérogène) les débits de crues d'une fréquence donnée varient en fonction de la superficie sous la forme suivante :

$$\frac{Q}{S_0} = \left(\frac{C}{S_0} \right)^{1 - \alpha/10}$$

$$\text{avec en unités métriques } C_0 = 10^6 \text{ m}^3/\text{s} \\ S_0 = 10^6 \text{ m}^2$$

C étant un coefficient dépendant du bassin et de la fréquence des crues considérées. Ce coefficient caractérise de façon "hydrographique" la pertinence des crues indépendamment des critères choisis.

Par ailleurs il dispose de la forme du bassin qu'on peut simplifier et représenter par le coefficient de Gouraud $K_c = 0,28 \frac{P}{\sqrt{S}}$

(où P et S sont respectivement la périphérie et la superficie du bassin) on peut donc écrire pour le coefficient C de Froude-Boulier la formule $C = f_p (K_c)$, le dépendant lui aussi de la superficie, mais sans pour simplifier le problème nécessiter les variables K_c et S et composé à fonction uniquement de $S : C = f_p (S)$.

Ceci est confirmé par les faibles écarts trouvés dans les valeurs de C obtenus pour les deux bassins d'un très grand bassin (la Région de par exemple) ce qui nous confortera nos formes générales de ces bassins.

...f...

Tableau 2. 1. 2.

Valeurs de K coefficient de Fransen Radler
pour les différents régions de l'étude
Statistique

CODE	STATION	ALTITUDE (M.)	K			
			10 km	20 km	50 km	100 km
WILAYAH	Ghardaïa	1681	3,95	3,8	4,17	4,45
:	Jendouba	2213	3,41	3,45	4,01	4,22
:	Bou Ghat	5929	3,18	3,23	3,75	3,85
WILAYAH	El Oued	9000	3,07	3,22	3,61	3,82
WILAYAH	Radijat el Ghad	10710	3,68	3,75	3,88	3,95
WILAYAH	Perseille	138	3,7	3,8	3,9	3,9
WILAYAH	El 12	390	4,1	4,1	4,6	4,6
WILAYAH	Tebertia	163	3,4	3,58	3,4	3,5
WILAYAH	Jebel Antra	735	3,6	3,7	3,9	3,9
WILAYAH (SIDI BOU)	Sidi Aouidat	223	3,2	3,5	3,7	4,0
WILAYAH	Chigaga	1619	3,6	3,8	4,2	4,3
WILAYAH	La Madâlatâa	1945	3,5	3,8	4,1	4,2
EL OUED	Aïn	222	3,2	3,3	3,5	3,6
EL OUED	El Bey	411	3,3	3,4	3,6	3
ALGERIA	Couïba	50	3,7	4,0	4,2	4
ALGERIA	Gafsa	67	4,1	4,2	4,4	4
ALGERIA	Hippone	675	4,5	4,9	5,4	5,6
ALGERIA	Alia Boughez	615	4,9	4,5	5,1	5,5
ALGERIA	Elment Djerda	7700	3,9	4,2	4,6	4,8
ALGERIA	Sidi Abd	6675	3,9	4,4	5,1	5,6

On définit ainsi pour chacune des périodes 10, 20, 50 et 100 ans un ensemble de valeurs de K pour les différentes zones de superficie et pour les diverses régions.

Pour rendre compte de la variation de K en fonction de la période de retour T on peut intégrer dans la fonction K cette nouvelle variable nous aurons alors la fonction $K = f(S, T)$.

2.1.2.1. Fonction globale

Nous avons opté pour exprimer la variation de K avec S et T la fonction puissance et nous avons posé à priori.

$$K = K_0 S^{\alpha} T^{-\beta}$$

En appliquant cette formule aux différentes valeurs de K obtenues nous avons pu pour le cas des eaux du Nord trouver des valeurs très voisines pour les coefficients α , β et K_0 : les moyennes de ces valeurs sont :

$$K_0 = 5,05$$

$$\alpha = -0,02$$

$$\beta = 0,10$$

Mais bien pour les eaux du Nord du pays et pour les bassins de superficie supérieure à 100 km^2 on pourrait éventuellement utiliser les formules suivantes pour l'estimation du débit de pointe pour des périodes de retour $T = 10, 20, 50, 100$ et même 1000 ans.

$Q = \left(\frac{S}{S_p} \right)^{\alpha} Q_p$ où $Q = \frac{5,05}{S} S^{0,10} T^{0,10}$	$T = 10, 20, 50, 100, 1000$
$Q_p = 10^6 \text{ m}^3/\text{s}$ $S_p = 10^6 \text{ m}^2$	

2.1.2.2. Application des résultats obtenus :

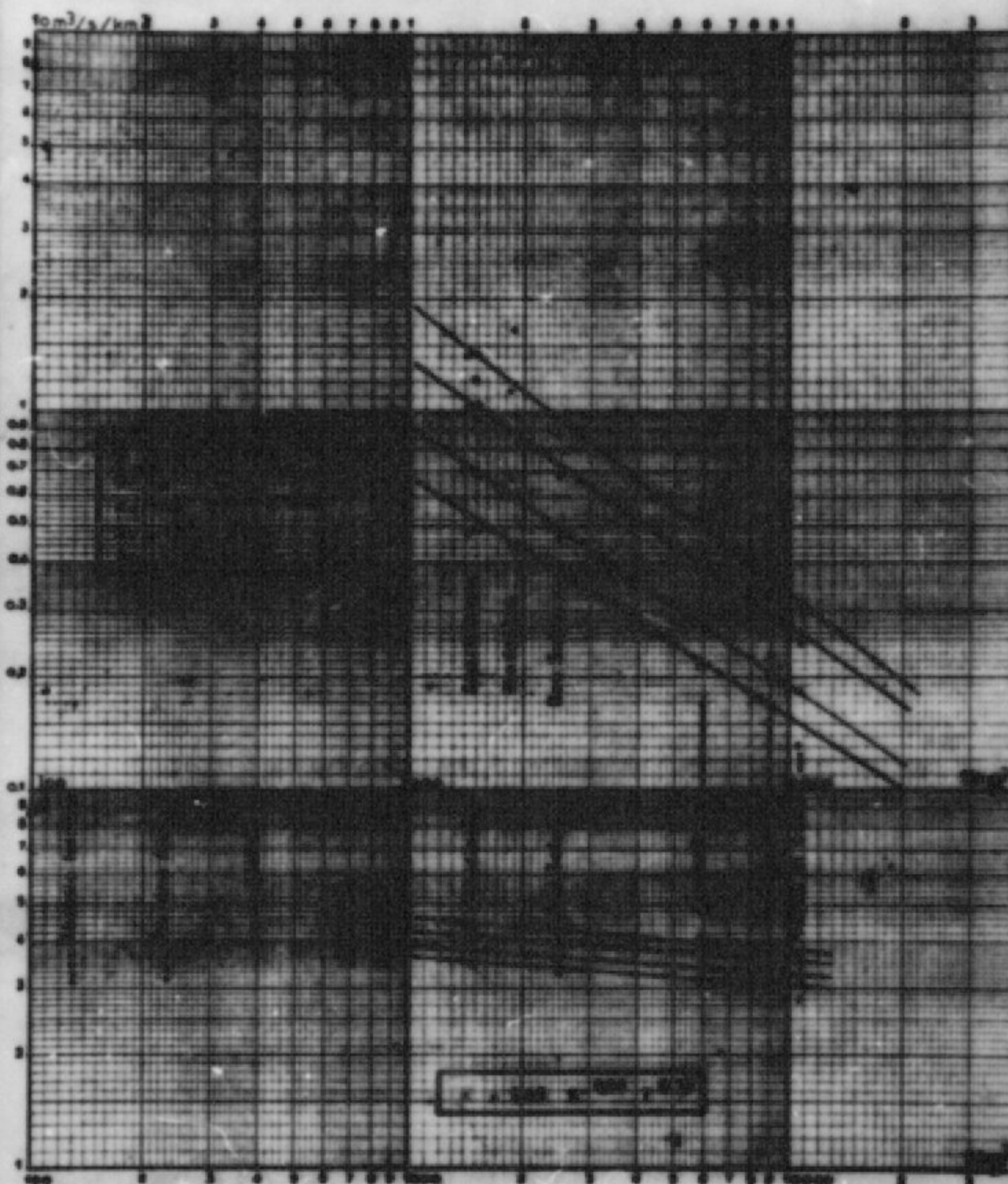
La traduction graphique de ces fonctions aboutit aux droites de la figure 2.1.2.2..

Les droites semblent converger pour les courfices très élevées ce qui fait ressortir une certaine dispersion par rapport aux résultats de l'étude statistique.

Le tableau (2.1.2.3) présente pour comparaison les valeurs de \bar{E} et σ dans diverses (résultats d'étude statistique) et celles obtenues calculées (relatives à partir du graphique 2.1.2.2.).

TABLEAU 2.1.2.3.

		3	10	20	50	100	10	20	50	100	q
Coûts fermiers	3	1,1	1,0	1,0	1,0	1,0	1,1	1,0	1,0	1,0	1,0
Méthode	Standard	1,00	1,05	1,08	1,10	1,12	1,00	0,99	0,98	0,99	1,12
	Propriétaire		1,25	1,28	1,32	1,35	1,38	1,25	1,28	1,32	1,35
Méthode	Standard	1,00	1,20	1,30	1,40	1,50	1,00	0,98	1,00	1,00	1,50
	Propriétaire		1,20	1,30	1,40	1,50	1,60	1,20	1,20	1,20	1,20
Méthode	Propriétaire	1,00	1,00	1,00	1,00	1,00	1,00	0,99	0,99	0,99	1,00
	Propriétaire		1,00	1,00	1,00	1,00	1,00	1,00	0,99	0,99	0,99
Méthode	Propriétaire	1,00	1,00	1,00	1,00	1,00	1,00	0,99	0,99	0,99	1,00
Total		1,00	1,25	1,35	1,45	1,55	1,00	0,98	1,00	1,00	1,55



2.1.2.3. Essai de la méthode dans d'autres régions

Si les résultats sont assez satisfaisants pour le Nord de la Dorsale et qu'on a pu définir des valeurs moyennes pour les paramètres $K_{0,a}$ etc., il n'en a malheureusement pas été de même pour les autres régions du pays pour lesquelles nous disposons de quelques résultats intéressants. En effet l'application de la fonction $K = K_0 S^a T^b$ pour les valeurs de K calculées donnent des valeurs différentes pour les paramètres a etc.

Pour les Oueds du Centre du Pays nous avons trouvé aux stations de Ain Saboun, Kankut Zazia et Sidi Saad des valeurs de g_{max} entre 0,6 et 0,25 ce qui se traduit pour $T = 100$ par exemple de 1,32 à 2,63 soit 2 fois plus grand, et pour a des valeurs très hétérogènes - 0,24 à 0,01 - K_0 est impossible à déterminer.

La même chose a été constatée sur le Royau Dorsal.

Cependant nous verrons plus loin que pour l'estimation des débits spécifiques des Oueds du Sud nous avons utilisé les valeurs de K qui gardent toujours leur caractère régional.

2.1.3. Etude de la variation des débits spécifiques avec les superficies

Les raisons invoquées ci-dessus, notamment l'impossibilité d'exprimer d'une manière uniforme la variation de K avec la superficie et la période de retour pour les régions situées au-dessous de la Dorsale nous ont amené à travailler directement sur les débits spécifiques.

Nous avons à priori supposé que le débit spécifique s'exprime de la même manière que K en fonction de S et de T c'est à dire que q répond à la formule

$$q = q_0 S^a T^b$$

Partant de ce fait qui nous a été dicté par le parallélisme observé dans les courbes régionales, nous avons calculé pour les régions précitées les valeurs des paramètres q_0 , a et b .

Les résultats obtenus sont très intéressants, comme on pourra le constater ci-après et reflètent bien l'hétérogénéité du schéma "débit de pointe" à travers les différentes régions hydrologiques du pays.

2.1.3.1. Tunisie Septentrionale

Bassins versants de superficie > 50 km²

Le graphique 2.1.3.1. montre d'une façon claire l'homogénéité des résultats statistiques obtenus aux 10 stations Abida, Gafsa, Kibir, Rhazala Jendouba, Ghaffanou, Jendouba, Bou Salé, Moulâgue K 13 et Medjez el Bab qui s'alignent de façon assez parfaite. L'application de la formule $q = q_0 \cdot g^{\alpha} \cdot \gamma^{\beta}$ aux droites tracées pour les périodes de retour 10, 20, 50 et 100 aboutit aux résultats suivants :

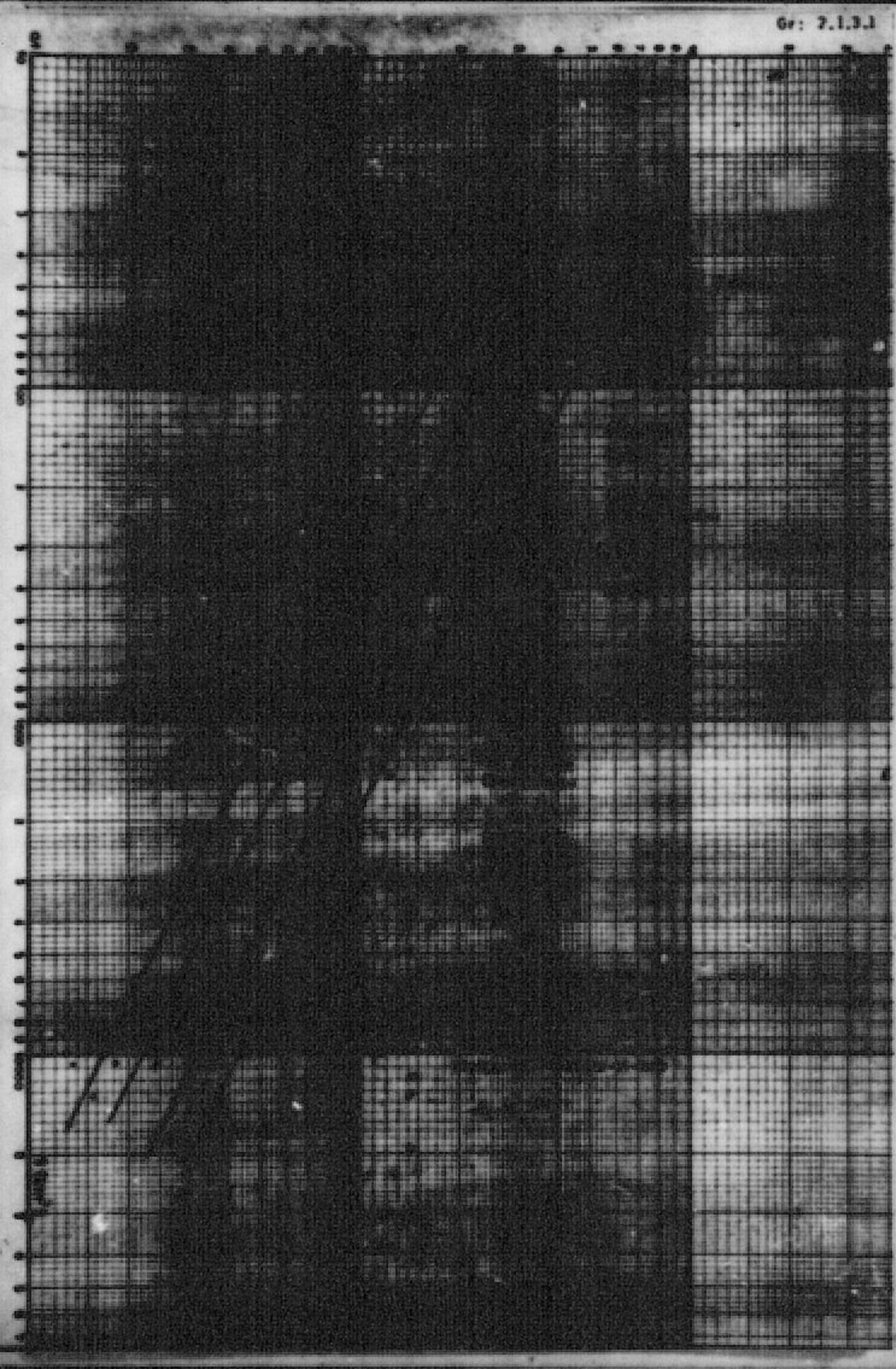
$$\begin{aligned} q_0 &= 6,5 \\ \alpha &= -0,50 \\ \beta &= 0,41 \end{aligned}$$

Ainsi pour la Tunisie au Nord de la Dorsale, les débits spécifiques de pluie sont régis par la formule

$$q = q_0 \cdot \frac{6,5}{\sqrt{s}}^{0,41} \quad (1)$$

Quoique pour les bassins de superficie moyenne (100 à 300 km²) les résultats de l'étude statistique s'écartent un peu du réseau de droites du graphique 2.1.3.1., seule la station de Abida donne des résultats conformes avec ces courbes, nous avons choisi d'étendre la formule à ces bassins et admettre sa validité pour les superficies supérieures à 500 km².

Pour les superficies inférieures à 50 km², plusieurs facteurs influent nettement sur les débits de crue notamment l'intensité des averses, leur durée ainsi que les temps de concentrations qui dépendent beaucoup de la forme des bassins, du relief et de la couverture végétale. L'extension des résultats obtenus à des petits bassins doit par conséquent être exclue. Si le cas se présente, il faut recourir par conséquent à d'autres formules et tables de calcul données et décrites dans les manuels classiques d'hydrologie ou d'hydrologie.(9)



2.1.3.2. Hiver-Début ?.

Il s'agit comme on l'a indiqué plus haut de la région couvrant les monts de Meknès et englobant les cours supérieurs des Oueds Sillans, Miliane (Bébâir), Nakhane et Marguillîl.

Le report des débits spécifiques q (T) en fonction de la superficie S sur un graphique à coordonnées logarithmiques a donné l'ensemble des droites parallèles de la figure 2.1.3.2. ci-après.

L'équation traduisant ces courbes est la suivante :

$$q = 2,35 \cdot 10^{-0,19} \cdot T^{0,44} \quad (3)$$

Nous donnons dans le tableau 2.1.3.2. les valeurs de q "observées" et calculées aux trois cours d'eau à St Etienne (Marguillîl) et Raffoux et Sillans à N° 12.

T	Miliane S = 220			Marguillîl S = 620			Sillans S = 220		
	q obs	q calc	q obs	q calc	q obs	q calc	q obs	q calc	q obs
10	2,39	2,31	3,8	1,89	1,89	10,5	1,87	2,87	93,5
20	3,25	3,34	4,2	2,73	2,54	7,2	1,94	2,89	44,5
50	4,45	4,70	5,2	3,98	3,80	14,5	3,79	4,19	11,5
100	5,35	6,37	19,2	5,01	5,16	3,2	5,95	5,89	4,2

Les écarts trouvés ne doivent pas nous effrayer surtout qu'il s'agit là de valeurs dissimile et vingtaine et que la formule 3 donne des résultats qui nous suffisent plus conformes à la réalité.

Si nous voulons ramener cette formule à la forme générale.

$$q = \lambda \cdot q_0 \cdot \frac{T^{0,41}}{S}$$

λ serait exprimé comme suit :

$$\lambda (S, T) = 0,35 \cdot T^{0,03} \cdot S^{0,31}$$

$T^{0,03}$ varie de 1,07 à 1,15 pour T variant de 10 à 100, on peut prendre pour $T^{0,03}$ une valeur moyenne égale à 1,11.

$$\lambda (S) = 0,45 \cdot 0,31$$

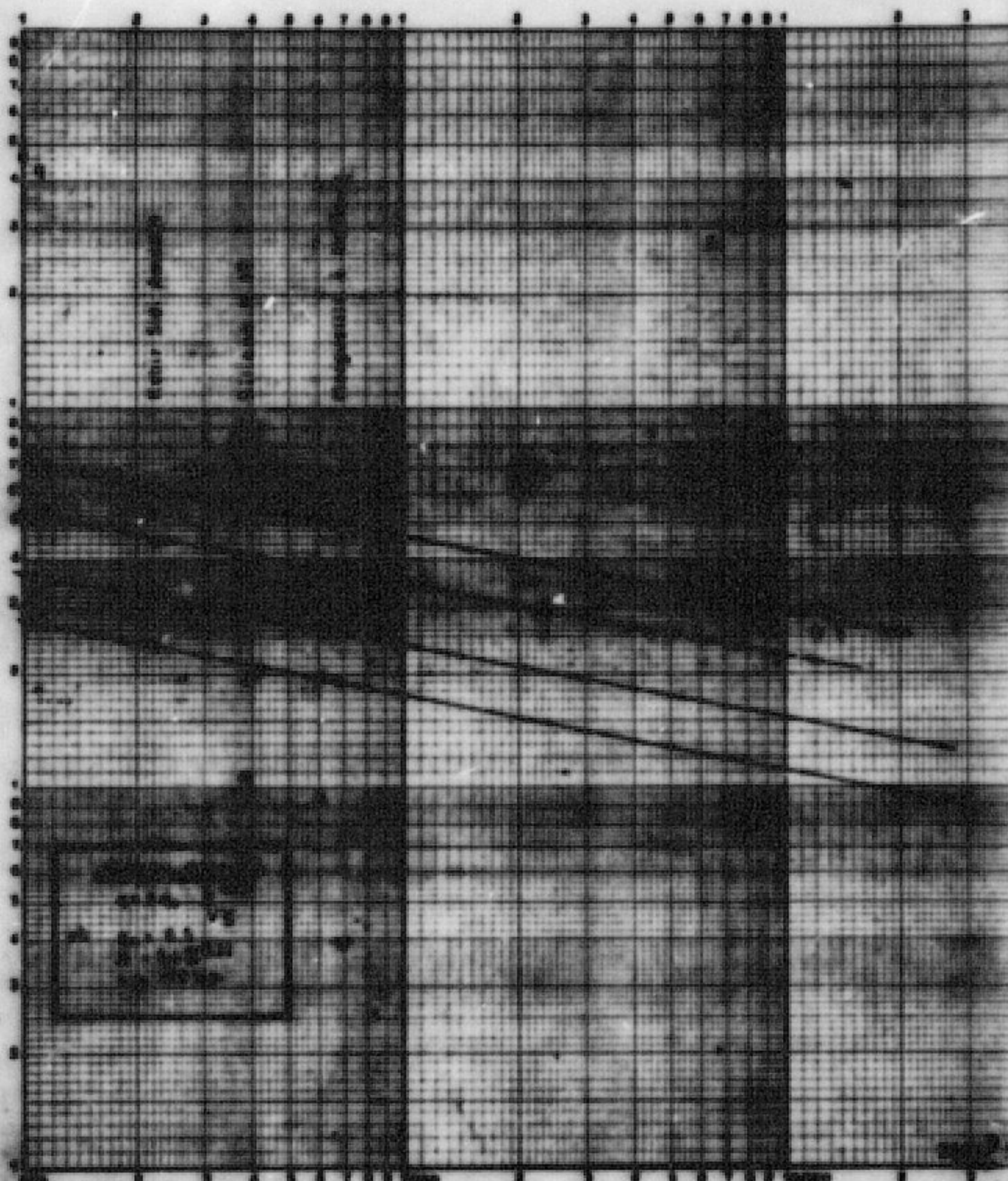
Mais donc pour le moyen donner le débit spécifique de période de valeur T soit la relation suivante :

$$q = \lambda \cdot q_0 \cdot \frac{T^{0,41}}{S}$$

$$\lambda = 0,45$$

$$\lambda (T) = 0,45 \cdot T^{0,03}$$

$$q = 0,45 \cdot 0,31 \cdot 100 \text{ m}^3$$



L'application de la formule 4 aux oueds considérés aboutit aux résultats du tableau suivant :

T	Béchir 27000 ²			Merouellil 66750 ²			Siliane S=390 Km ²		
	$\lambda(5)$	q calc	$q(1)$	$\lambda(5)$	q calc	$q(1)$	$\lambda(5)$	q calc	$q(1)$
10	2,15	2,38	2,39	3,01	1,93	1,89	2,54	2,15	1,07
20	2,15	3,17	3,26	3,91	2,58	2,73	2,54	2,86	1,96
50	2,15	4,60	4,15	3,01	3,74	3,98	2,54	4,16	3,79
100	2,15	6,12	5,36	3,01	4,98	5,01	2,54	5,53	5,95

L'examen de ce tableau permet de constater la validité des résultats fournis par la formule et leur concordance avec les résultats $q(1)$ de l'étude statistique.

Les courbes correspondantes sont données dans le graphique 2.2. Final.

2.1.3.3. La Tunisie Centrale

Cette partie de la Tunisie groupe notamment les bassins des oueds Metab et Mettab : (les deux principales branches du Zérouad), du Zérouad du Leben et les grands bassins du Sahel de Sousse et de Sfax.

Le report des résultats de l'étude statistique effectuée sur le bassin du Zérouad (Aïn Saboun, Sidi Saad et Khanguet Zazia) sur graphique à échelle logarithmique a abouti aux résultats du graphique 2.1.3.3., la relation tracant ces courbes est :

L'application de la formule 4 aux oueds considérés aboutit aux résultats du tableau suivant :

T	Kbir 2290m ²			Zerouad 4675m ²			Siliana S=390 m ²		
	$\lambda(S)$	calc	$q(1)$	$\lambda(S)$	calc	$q(1)$	$\lambda(S)$	calc	$q(1)$
40	2,15	2,38	2,39	3,01	1,99	1,89	2,54	2,15	1,07
20	2,15	3,17	3,25	3,01	2,58	2,73	2,54	2,86	1,96
50	2,15	4,60	4,45	3,01	3,74	3,98	2,54	4,16	3,79
100	2,15	6,12	5,36	3,01	4,98	5,01	2,54	5,53	5,95

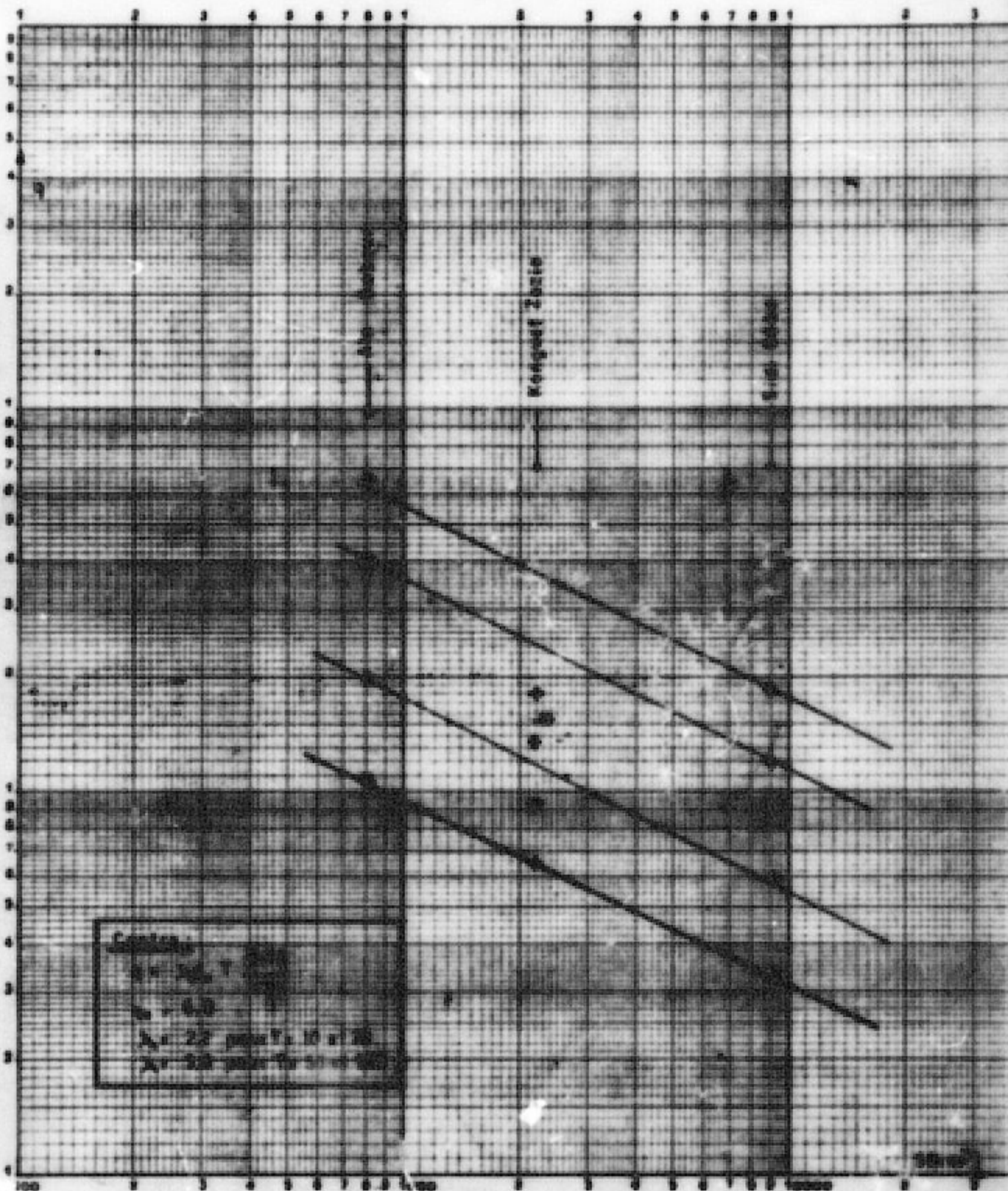
L'examen de ce tableau permet de constater la validité des résultats fournis par la formule et leur concordance avec les résultats $q(1)$ de l'étude statistique.

Les courbes correspondantes sont données dans le graphique 2.2. final.

2.1.3.3. La Tunisie Centrale

Cette partie de la Tunisie groupe notamment les bassins des oueds Metab et Hettab ; (les deux principales branches du Zérouad), du Zérouad du Laben et les grands bassins du Sahel de Sousse et de Sfax.

Le resort des résultats de l'étude statistique effectuée sur le bassin du Zérouad (Aïn Saboun, Sidi Saad et Khaquer Zazia) sur graphique à échelle logarithmique a abouti aux résultats du graphique 2.1.3.3., la relation traduisant ces courbes est :



$$q = 5,5 \cdot t^{-0,5} + 0,76$$

En remettant cette formule à l'équation générale $q = q_0 \cdot t^{0,41}$
on peut écrire

$$q = q_0 \cdot t^{0,41}$$

$$\text{et } q_0 = 6,5 \text{ et } t = 0,95 \cdot t^{0,35}$$

$t = 2,2$ pour $T = 10$ et 20

$t = 3,8$ pour $T = 50$ et 100

Dans le tableau 2.1.3.3. ci-après, nous donnons les valeurs de $q^{(1)}$ (statistique) et q telles que trois stations considérées :

T	Centre-Nord			Centre-Sud					
	M. Sart		M. Sart	M. Sart		M. Sart			
	$q^{(1)}$	q calc.	relat.	q obs	q calc.	relat.			
10	1,05	1,29	213	0,95	0,77	173	0,39	0,31	39
20	1,99	1,68	163	0,93	1,00	113	0,60	0,53	35
50	4,06	4,24	55	1,35	2,98	62	1,17	1,29	30
100	6,56	5,62	143	1,79	3,44	92	1,83	1,72	4

Les valeurs observées considérées très faibles au départ.

La faiblesse des des valeurs des erreurs relatives (comprise entre 4 et 213) confirme l'utilisation de la formule citée. Nous avons donc dû considérer les deux hypothèses pour T à cause du grand écart des résultats respectivement sur les périodes de retour.

$T = 10$ où on a $t^{0,35} = 2,21$ et $T = 100$ pour laquelle $t^{0,35} = 6,91$ soit le double.

2.1.3.4. La Tunisie méridionale

Nous incluons dans cette région tout le Centre Sud, le Sud Est et le Sud Ouest du pays.

Le temps d'observation dans cette région ne nous permet que d'avoir des ordres de grandeurs des débits spécifiques. Pour cela, et comme nous l'avons mentionné au début de cette étude nous utilisons le coefficient de Franss-Gutter à pour les bassins dépassant 200 km^2 . Les valeurs de K peuvent être employées sur cette région sont les suivantes :

$$K_{10} = 4,0$$

$$K_{20} = 4,2$$

$$K_{50} = 4,5$$

$$K_{100} = 4,9$$

Ces valeurs de K donnent les résultats suivants pour des superficies variant entre 300 et 10.000 m^2 .

$S \text{ en } \text{m}^2$	300	500	1000	5000	10000
$T \text{ en } \text{m}$	10	20	50	100	200
10	1,89	1,32	1,0	0,53	0,40
20	2,47	1,69	1,26	0,64	0,41
50	4,18	2,74	2,0	0,95	0,69
100	6,20	3,96	2,80	1,23	0,88

Le report de ces résultats sur un graphique à échelle logarithmique donne lieu aux droites de la figure 2.1.3.4.

Les courbes convergent pour les fortes superficies, pour l'homogénéité des résultats et portant des résultats centenaire et cinquante mètres nous avons modifié les droites décimale et vingtième, pour obtenir un ensemble de droites parallèles facilement exprimables par la relation générale.

$$q = q_0 \cdot S^{0.5} T^0$$

Les paramètres du nouvel ensemble de droites sont :

$$q_0 = 9,2$$

$$\alpha = 0,5$$

$$\beta = 0,49$$

$$\text{soit } q = 9,2 \cdot S^{0.5} \cdot T^{0.49}$$

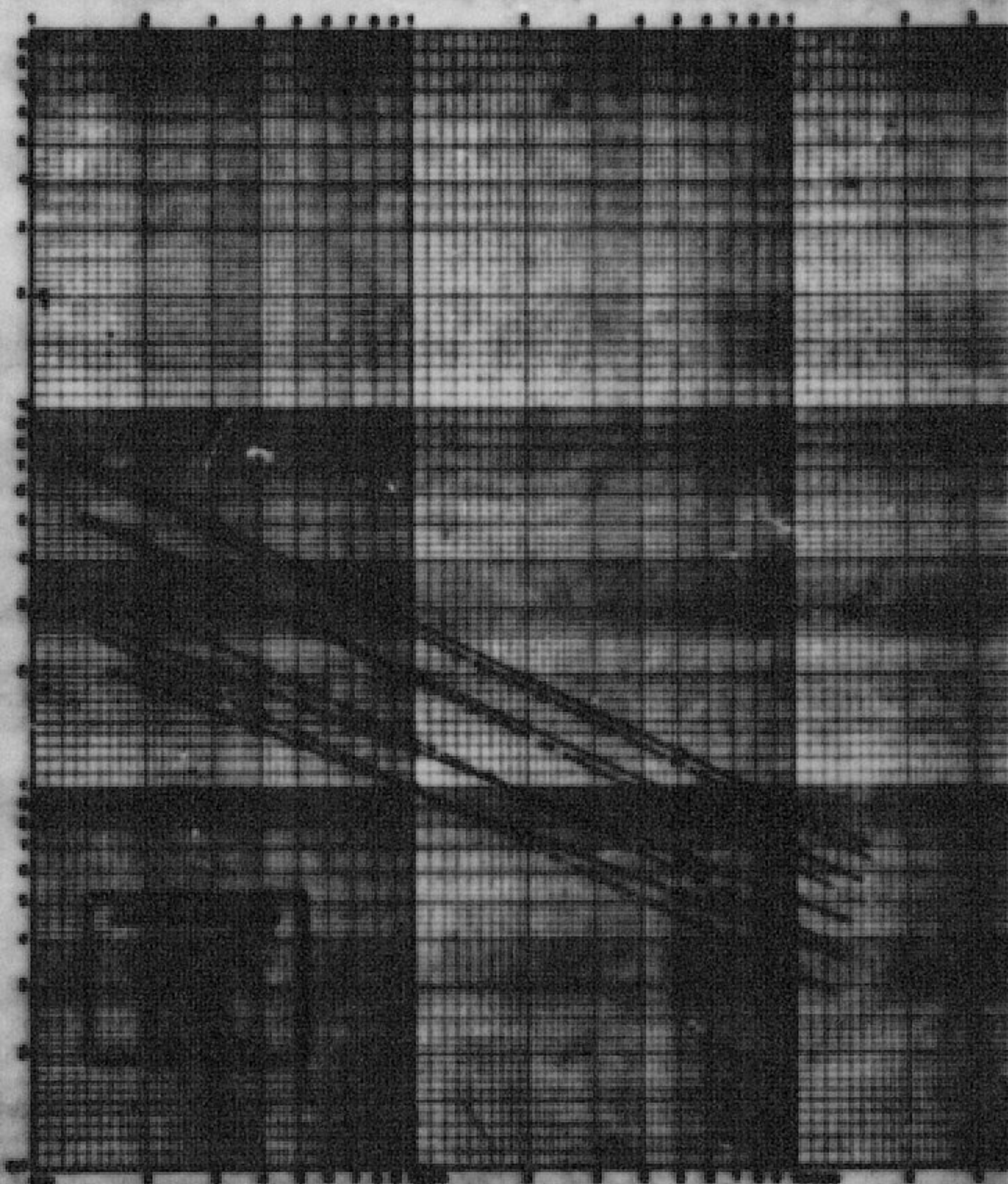
(6)

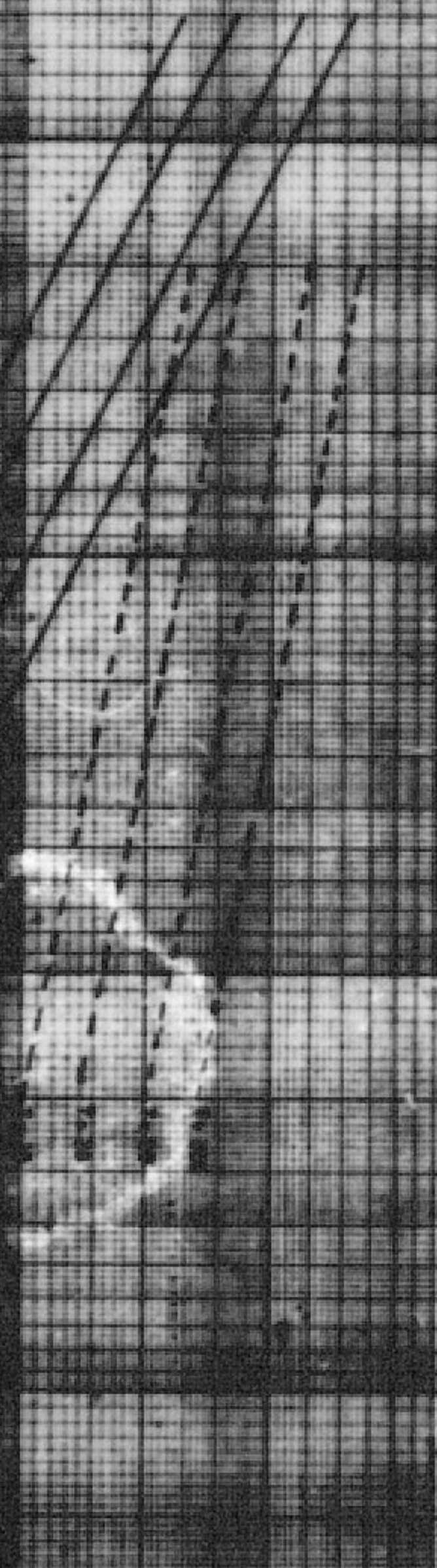
$$\text{ou } q = 1,62 \cdot 5^{-0.5} \cdot T^{0.49}$$

$T^{0.49}$ varie de 1,30 (pour $T = 10$) et 1,45 (pour $T = 100$).

on peut prendre une valeur moyenne pour $T^{0.49}$ égale à 1,32.

$$(6) devient : q = 1,62 \cdot 5^{-0.5} \cdot T^{0.41}$$





Appliquée aux bassins de superficie 200, 500, 1000 et 1500 m^2 , cette formule donne les résultats ci-dessous.

$S \text{ en } \text{m}^2$	200	500	1000	1500
10	2,24	1,48	1,00	0,68
20	2,19	1,49	1,01	0,69
50	0,94	2,74	1,94	0,93
100	0,77	3,45	2,38	0,82

Les deux séries relatives des deux critères de vitesse obtenues par la formule de Franssen Routh et par la nôtre sont assez proches comme le montre le tableau suivant obtenu pour les fréquences d'oscillation et constantes

S	200	500	1000	1500
10	100	65	55	35
20	210	135	95	65
50	45	65	35	125
100	75	85	65	75

Noté donc pour le Test de Triebel que pour obtenir que le critère spécifique des bassins de superficie supérieure à 200 m^2 est donné par la formule quadratique.

$$\begin{aligned} & \alpha = \gamma \sqrt{g} \cdot \frac{\rho}{\rho_0} \cdot \frac{1}{2} \cdot \frac{1}{S} \\ & \alpha = \left\{ \begin{array}{l} \gamma = 6,5 \\ S = 1,9 \end{array} \right. \end{aligned}$$

La traduction graphique de ces résultats donne un ensemble de courbes de graphique final donné à la fin de cette étude.

2.2. Répartition des résultats

Nous examinons les différents résultats obtenus pour chaque région

a) Territoire continental

$$q = \frac{1}{\sqrt{T}} q_0$$

$$q_0 = 6,4$$

$$\lambda = 1 \text{ pour } T > 60 \text{ ms}^2$$

b) Région boréale

$$q = \frac{1}{\sqrt{T}} q_0 \quad \frac{1,41}{\sqrt{T}}$$

$$q_0 = 6,5$$

$$\lambda (S) = 0,4 \text{ g}^{0,31}$$

$$\text{pour } S^2 < 200 \text{ ms}^2$$

c) Territoire Centrale

$$q = \frac{1}{\sqrt{T}} q_0 \quad \frac{1,41}{\sqrt{T}}$$

$$q_0 = 6,5$$

$$\lambda = 2,2 \text{ pour } T = 10 \text{ et } 20$$

$$\lambda = 3,00 \text{ pour } T = 50 \text{ et } 100$$

d) Territoire Méridionale

$$q = \frac{1}{\sqrt{T}} \cdot 20,1 \text{ g}^{0,31}$$

$$q_0 = 6,5$$

$$\lambda = 1,9 \text{ pour } T > 200 \text{ ms}^2$$

On peut ramener ces différents résultats par la formule générale suivante dans l'équation de pose

$$q_T (T) = q_0$$

$$\text{---} \quad \boxed{\text{---}} \quad \begin{matrix} 0.41 \\ \text{---} \end{matrix}$$

avec $T = \text{période rotatoire en secondes}$
 $S = \text{superficie en } m^2$
 $\rho = \text{densité spécifique en } g/cm^3$
et $a_p(s) = \text{paramètre qui prend les valeurs du tableau suivant}$

Régions	a_p
Tunisie du Nord et Cap Bon	pour $S > 90 \text{ m}^2 \quad a_p = 8,5$
Rapide Sousse	pour $S > 270 \text{ m}^2 \quad a_p = 2,50 \text{ g}^0,51$
Tunisie Centrale et Sahel	pour $T = 10,20 \text{ sec} \quad a_p = 14,30$ pour $T = 50 \text{ ou } 100 \text{ sec} \quad a_p = 24,30$
Sud Est et Sud Ouest	pour $S > 270 \text{ m}^2 \quad a_p = 12,35$

Les diagrammes relatifs à ces résultats sont donnés dans les graphiques 1.2. 1 et 2 ci après.

3.- CRÉATION DE JOURNALISME DES PLUIES TRONQUÉES

Le débit spécifique de crue $q = \frac{Q}{A}$ ($\text{en } \text{m}^3/\text{s.m}^{-2}$) d'un cours d'eau est fonction de la taille de son bassin versant. Il prend des valeurs d'autant plus élevées que la superficie est plus réduite, toutes choses égales d'ailleurs. Autrement dit le débit de crues croît beaucoup moins vite que la surface des bassins. En effet l'intensité de la pluie durant un intervalle de temps t dépend aussi de t auquel, et le débit de crue d'une crue est en liaison étroite avec l'intensité moyenne de la pluie calculée sur le temps de concentration qui est généralement fonction de la pente et du coefficient de fuite du bassin versant c'est à dire, au vu de la relation donnant ce coefficient $K = 0,25 \cdot \frac{1}{T^{0.5}}$, fonction de $\frac{1}{T^{0.5}}$.

Ceci peut expliquer l'apparition de ce phénomène (3^e-5) dans les formules. Par ailleurs le débit spécifique dépend de la pluviométrie moyenne sur le bassin et il a été constaté que le coefficient d'échancement est d'autant plus grand que la superficie est petite. Ceci montre encore une fois que le débit spécifique varie en sens inverse de la superficie des bassins.

Par ailleurs nous avons essayé dans tout ce qui précède de trouver les formules adaptées à une fuite quadratique de type

$$q = q_0 \cdot S^{\alpha} \cdot T^{\beta} \quad .$$

En plus de correctrice régionale qu'exprime la formule adoptée elle présente l'avantage de tenir compte des fréquences d'apparition des crues.

En effet les résultats obtenus par l'étude statistique et leur présentation graphique ont montré qu'il existe une relation entre le cours du débit spécifique qu'on a des chances de rencontrer une fois au cours d'une période de T années et l'aire du bassin versant en m^2 .

Conclusion :

Les formules données pour les différentes régions notamment celles de Nord et de Centre-Tourisme et qui résultent de l'interprétation statistique de résultats de séries d'observations assez longues relatives aux bassins de différentes tailles, sont acceptables pour leur ensemble et elles permettent de donner des valeurs "typiques" auxquelles tout utilisateur de différentes estimations pourra se référer.

Pour les régions de Sud, nous pensons que la formule adoptée à partir des coefficients de French-Bellier qu'on a essayé d'appliquer à cette région, peut être aussi utilisée pour les estimations générales et en attendant de l'affiner dans quelques années à partir de séries d'observations plus importantes.

Pour conclure cette étude il est utile de rappeler toutes fois qu'on peut rapporter à la méthode employée les faits.

1) Les données utilisées ne sont pas homogènes

2) L'erreur peut varier de 5 à 10 % dans le cas le plus favorable à 20% et plus dans les cas les plus avérés (il est en effet très difficile de mesurer certaines séries quand les vitesses dépassent 6 m/s et quand la proportion des éclats solides transportés est très mal connue par ailleurs il faut avoir toujours présent à l'esprit ce qui signifie une période de retour quand ces risques émergent).

En effet, si on multiplie la probabilité pour que le creux annuel atteigne au moins une fois dans une période de T années consécutives une valeur dont la période de retour est donnée en élévation (grâce à une loi de Poisson), on obtient les suivants :

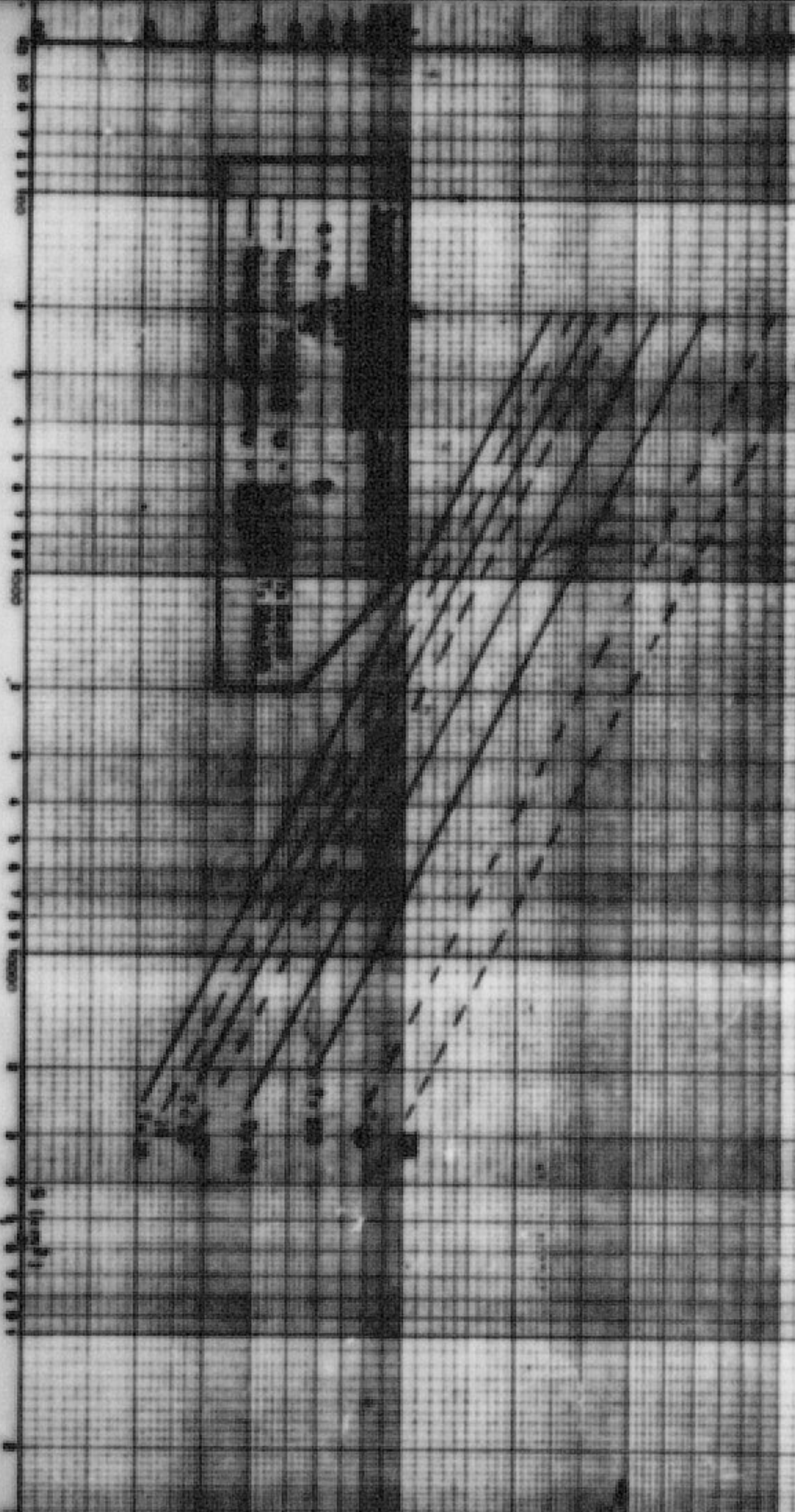
T Période de retour	P	10	20	30	50	100	200
Annuelle	0,1	0,002	0,005	0,009		1	1
	0,05	0,005	0,012	0,020	0,030		1
	0,01	0,012	0,025	0,040	0,060	0,090	0,120
Centrale	10	0,01	0,005	0,001	0,000	0,000	0,000
	20	0,005	0,002	0,000	0,000	0,000	0,000
	50	0,000	0,000	0,000	0,000	0,000	0,000
Mensuelle	100	0,000	0,000	0,000	0,000	0,000	0,000
	200	0,000	0,000	0,000	0,000	0,000	0,000
	500	0,000	0,000	0,000	0,000	0,000	0,000

On voit par exemple que la probabilité d'observer au moins un creux annuel dans les 20 années à venir est d'en peu plus de 10 chances sur 100 ce qui est une probabilité très élevée. Inversement, on voit aussi que la probabilité de ne pas observer de creux annuels dans les 20 années à venir est de 11,5 chances sur 100. C'est expliquer la prudence qu'il convient d'adopter lorsque on dispose que de courtes séries d'observation comme ces variétés de pluies. A l'aide de corrélations hydrochronologiques, tirer un meilleur parti des observations et les relations plurivariées ont été faites sur une période plus longue.

Il importe aussi de noter que les lois statistiques relatives aux séries hydrochronologiques de mesures effectuées ne sont qu'un moyen pour donner un ordre mathématique aux observations pratiques. L'application de ces lois par extrapolation pour déduire le tableau des pluies futures suppose que le régime reste tellement ce qu'il était antérieurement jusqu'à un certain temps. Ces fluctuations qui accompagnent les séries hydrochronologiques pendant les observations pratiques.

Si ce qui concerne le client, il peut subir des fluctuations de moyenne dure (1^e, 2^e ou 3^e ans par exemple), ou subir des fluctuations en tendance de plus longue durée (quelques années ou plus encore). Les fluctuations de courte durée peuvent rendre erroneous des évaluations de risques faites à partir des observations d'une période de 40 ou 50 années séparées par exemple et la période qui suit est plus basse (dans un client stable en moyenne à l'échelle de plusieurs années). Bien faire une sur ce point sur 11 années possible que ce soit le cas actuellement en Tunisie. De 1990 à 1999 au moins, on connaît une une période stable qui aurait duré depuis 1980 jusqu'à ce jour par une période plus basse. Mais ce n'est pas, dans l'état actuel des connaissances, de prétendre si cette période basse va prolonger et de combien d'années.

La conclusion n'obtient jamais que les résultats d'études statistiques sont tellement qu'ils soient vraiment être utilisés avec beaucoup d'esprit critique. Peut faire ces fluctuations à la croissance, il est certain que les résultats étant obtenus sont utilisables et présentent les meilleures garanties pour les utilisateurs, surtout si l'on dispose d'un étude globale d'un bonne servant permettant des comparaisons entre stations et concernant aussi la tendance et la propagation des crises en relation avec les pluies observées.



Bibliographie

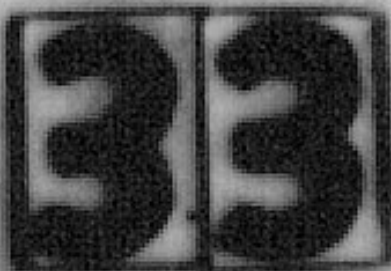
- 1) Etude fréquentielle des débits marnes (INR Echelle Dousset)
- 2) Dossier hydrographique de l'Oued Oubir (INR R. Dallal)
- 3) Dossier hydrographique de l'Oued Jazine (INR R. Dallal)
- 4) Monographie de la Medjerdah (INR Service Hydrologique)
- 5) Monographie du Mzane (INR Service Hydrologique)
- 6) Annexo sommaire sur l'hydrologie de l'Oued Dous (INR R. Dallal)
- 7) Note Ferme Sidi Aïtia (INR R. Dallal et J. Chauvet).
- 8) Essai de classification des crues marnes observées dans le nord (Francois (J) et Radier (J) Cahier INR, Série Hydrologie Vol. IV n° 3 (1967).)
- 9) A propos de l'estimation des débits de ruissel en Tunisie (R. DALLAL et J. CHAUDET) (Prospective en Eau de Tunisie n°3 1976.)

Evaluation des débits maximaux
en TUNISIE .-

ERRATA

Page	Alinea	ligne	lire	au lieu de
1	1er	3	hydrauliques	Hydrologiques
9	3	3	$k = k_0 S^{\alpha} T^{\beta}$	
9	5	5	$Q = Q_0 \left(\frac{S}{S_0}\right)^{1-k/10}$	$Q = \left(\frac{Q_0}{S_0}\right)^{1-\frac{k}{10}}$
11	1	4	nous ne disposons que	nous disposons
11	7	2	homogénéité	homogénéité
12	1	2	"	"
13	6	1	formule obtenue pour le Nord du pays	formule générale
13	6	7	$\lambda(S) = 0,45 S^{0,31}$	$\lambda(S) = 0,55 S^{0,31}$
16	4	6	ou $q = 1,42 \times 6,5 S^{-0,5} \cdot T^{0,08} T^{0,41}$	ou $q = 1,42 \times 6,5 S^{-0,5} T^{0,08} T^{0,41}$
20	4	2	maximum	maxime
21	3	12	0,095	0,005

FUN



www